

01;05

## Биметаллический цилиндр в импульсном магнитном поле

© Г.Ш. Болтачев, Н.Б. Волков

Институт электрофизики УрО РАН, Екатеринбург

E-mail: grey@ier.uran.ru

Поступило в Редакцию 4 мая 2009 г.

Аналитически решена задача о диффузии внешнего магнитного поля в биметаллический цилиндр, представляющий собой стержень и оболочку из разных проводящих материалов. В случае импульса внешнего поля в виде одной полуволны  $B_e = B_m \sin(\pi t/T)$  проанализировано расслоение цилиндра, обусловленное расширением оболочки под действием остаточного магнитного поля в ее внутренней полости. Выявлена немонотонная зависимость силового действия остаточного поля от проводимости стержня.

PACS: 41.20.Gz, 81.20.Ev

Высокую эффективность в процессах магнитно-импульсного прессования нанопорошков [1–3] демонстрирует так называемая схема  $\theta$ -пинча, когда сжатие проводящей цилиндрической оболочки достигается за счет силового действия импульсного магнитного поля внешнего коаксиально расположенного соленоида [4]. Помимо сжатия теоретически предсказана [4,5] возможность индукционного расширения оболочек во внешнем магнитном поле. Так, в работе [5] для импульса внешнего поля в виде одной полуволны синуса, что характерно для схемы  $\theta$ -пинча [1], проанализировано расширение проводящего полого цилиндра, сжатие которого препятствует непроводящий стержень. Реализация такого процесса при магнитно-импульсном прессовании рассматривается как перспективный способ бесконтактной выпрессовки предварительно сформированного порошкового изделия из металлической трубы. Однако в условиях реальных экспериментов по прессованию порошков часто используются стержни с ненулевой электропроводностью [1–3]. Роль проводящего стержня может выполнять и сама заготовка, например при изготовлении металлокерамики [6].

В связи с этим значительный интерес представляет задача о диффузии магнитного поля в биметаллический цилиндр, состоящий из стержня и оболочки. Уравнение диффузии в условиях цилиндрической симметрии имеет вид

$$\frac{1}{\kappa} B_t = B_{rr} + \frac{1}{r} B_r, \quad (1)$$

где  $B(r, t)$  — индукция магнитного поля,  $\kappa = \rho/\mu$  — коэффициент диффузии,  $\rho$  — удельное электросопротивление,  $\mu = 4\pi \cdot 10^{-7}$  Н/м — магнитная проницаемость. Поставленная задача предполагает одновременное решение уравнений (1) для стержня и оболочки при начальном условии —  $B(r, t = 0) = 0$ , и граничных условиях —

$$B_c(b, t) = B_b(t) \quad (r = b), \quad B_m(a, t) = B_c(a, t) \quad (r = a),$$

$$\rho_c \frac{\partial B_c}{\partial r} = \rho \frac{\partial B_m}{\partial r} \quad (r = a), \quad \frac{\partial B_m}{\partial r} = 0 \quad (r = 0), \quad (2)$$

где  $a$  и  $b$  — внутренний и внешний радиусы оболочки соответственно,  $B_b(t)$  — внешнее по отношению к оболочке магнитное поле; нижний индекс „с“ обозначает величины, относящиеся к оболочке, „m“ — к стержню. В рамках преобразования Лапласа [7]

$$A(r, p) = \tilde{L}\{B(r, t)\} = \int_0^{\infty} e^{-pt} B(r, t) dt \quad (3)$$

сформулированная задача для изображения  $A(r)$  искомой функции (зависимость от параметра  $p$  для краткости будем опускать) сводится к уравнениям Бесселя, решение которых, получаемое аналогично решению для полый оболочки [5], имеет вид

$$A(r) = \frac{A_b}{F_b} \Phi(x, p), \quad \Phi(x, p) = \begin{cases} 2\gamma J_0(\alpha x) / (\pi \beta x_a) & (0 \leq x \leq x_a), \\ F(x) & (x_a \leq x \leq 1). \end{cases} \quad (4)$$

Здесь и в дальнейшем используются обозначения:  $x = r/b$ ,  $x_a = a/b$ ,

$$F(x) = J_1(\alpha x_a) [J_0(\beta x) Y_0(\beta x_a) - Y_0(\beta x) J_0(\beta x_a)] \\ - \gamma J_0(\alpha x_a) [J_0(\beta x) Y_1(\beta x_a) - Y_0(\beta x) J_1(\beta x_a)],$$

$$\beta = b\sqrt{\frac{-p}{\kappa_c}}, \quad \gamma = \sqrt{\frac{\rho_c}{\rho_m}} = \frac{\alpha}{\beta}, \quad F_b = F(1), \quad A_b = \hat{L}\{B_b(t)\},$$

$$s_1 = J_0(\beta)Y_0(\beta x_a) - Y_0(\beta)J_0(\beta x_a), \quad s_2 = J_0(\beta)Y_1(\beta x_a) - Y_0(\beta)J_1(\beta x_a),$$

$$s_3 = J_1(\beta)Y_0(\beta x_a) - Y_1(\beta)J_0(\beta x_a), \quad s_4 = J_1(\beta)Y_1(\beta x_a) - Y_1(\beta)J_1(\beta x_a),$$

$J_k, Y_k$  — функция Бесселя первого и второго рода  $k$ -го порядка.

Как известно [7], решение для произвольного граничного условия  $B_b(t)$ , включаемого в момент времени  $t = 0$ , может быть легко сконструировано на основе решения, отвечающего „постоянным“ граничным условиям:

$$B_b(t) = \begin{cases} 0, & t < 0, \\ B_0, & t \geq 0, \end{cases} \quad A_b = \frac{B_0}{p}. \quad (5)$$

Обратное преобразование Лапласа при условии (5) дает для магнитного поля

$$\frac{B(r, t)}{B_0} = 1 + 2 \sum_{n=1}^{\infty} \frac{\Phi(x, \beta_n)}{\beta_n g(\beta_n)} \exp\left(-\beta_n^2 \frac{\kappa_c t}{b^2}\right), \quad (6)$$

где  $g(\beta) = \gamma J_0(\gamma \beta x_a) s_4 - J_1(\gamma \beta x_a) [x_a(1 - \gamma^2) s_2 + s_3]$ , а  $\beta_n$  — корни уравнения  $F_b(\beta) = 0$ . Решение задачи для произвольного граничного условия  $B_b(t)$  выражается через интеграл Дюамеля [7]:

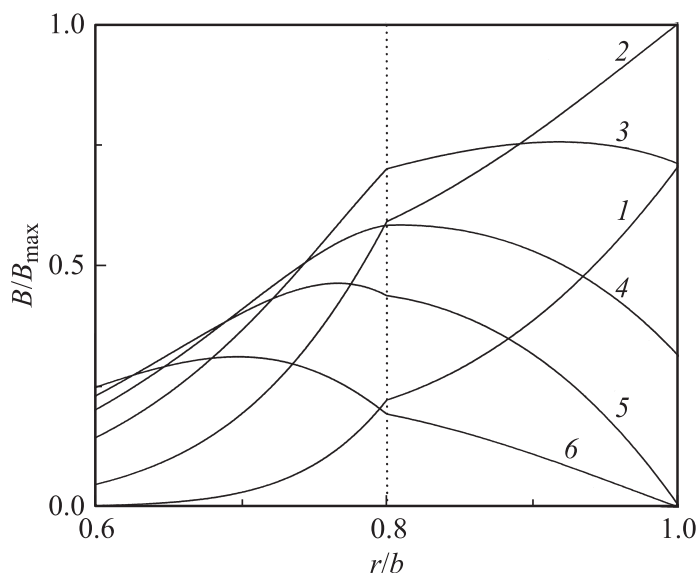
$$B(r, t) = -\frac{2\kappa_c}{b^2} \sum_{n=1}^{\infty} \frac{\beta_n \Phi(x, \beta_n)}{g(\beta_n)} \int_0^t B_b(y) \exp\left(-\beta_n^2 \frac{\kappa_c}{b^2} (t - y)\right) dy. \quad (7)$$

В экспериментах по магнитно-импульсному прессованию в условиях  $\theta$ -пинча [1–3] импульс внешнего магнитного поля близок по виду к одной полуволне синуса —

$$B_b(t) = \begin{cases} 0, & t < 0, \quad t > T, \\ B_{\max} \sin(\pi t/T), & 0 \leq t \leq T. \end{cases} \quad (8)$$

Общее выражение (7) для импульса (8) на интервале  $0 \leq t \leq T$  дает

$$\begin{aligned} \frac{B(r, t)}{B_{\max}} &= \sin(\pi \tau) - 2\lambda \sum_{n=1}^{\infty} \frac{\beta_n \Phi(x, \beta_n)}{g(\beta_n)} \\ &\times \frac{\exp(-\pi \beta_n^2 \lambda \tau) - \cos(\pi \tau) - (\beta_n^2 \lambda)^{-1} \sin(\pi \tau)}{1 + (\beta_n^2 \lambda)^2}, \end{aligned} \quad (9)$$

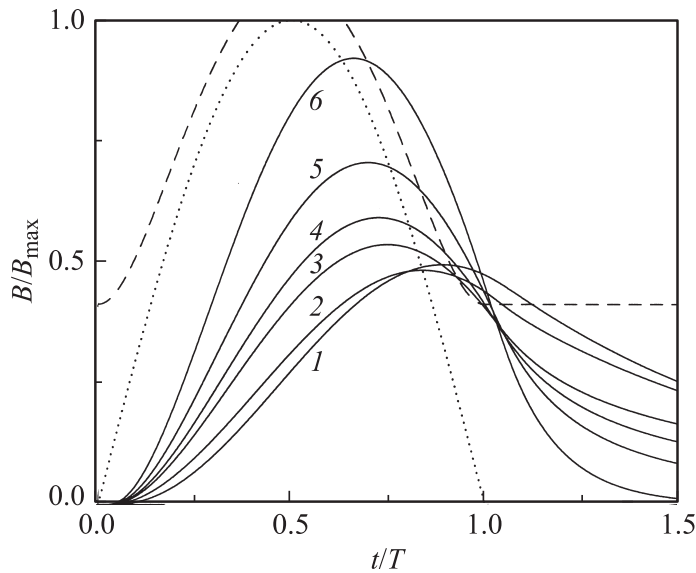


**Рис. 1.** Пространственное распределение магнитного поля в системе „стержень + оболочка“ при  $x_a = 0.8$ ,  $\gamma = 2$  и  $\lambda \cong 0.034$  в моменты времени: 1 —  $\tau = 0.25$ , 2 — 0.5, 3 — 0.75, 4 — 0.9, 5 — 1.0, 6 — 1.2.

где  $\tau = t/T$ ,  $\lambda = \kappa_c T / (\pi b^2)$ , и при  $t > T$  —

$$\frac{B(r, t)}{B_{\max}} = -2\lambda \sum_{n=1}^{\infty} \frac{\beta_n \Phi(x, \beta_n)}{g(\beta_n)} \frac{\exp(-\pi\beta_n^2\lambda) + 1}{1 + (\beta_n^2\lambda)^2} \exp[-\pi\beta_n^2\lambda(\tau - 1)]. \quad (10)$$

В приведенных величинах  $(B/B_{\max}, x, \tau)$  решение (9), (10) определяется значениями безразмерных комплексов  $x_a$ ,  $\gamma$  и  $\lambda$ . Пространственные распределения магнитного поля в системе „стержень + оболочка“ при определенных значениях этих комплексов представлены на рис. 1. Использованное значение  $\lambda$  соответствует медной оболочке ( $\rho_c = 1.7 \cdot 10^{-8} \Omega \cdot \text{m}$ ) диаметром  $2b = 10 \text{ mm}$  при длительности внешнего импульса  $T = 200 \mu\text{s}$ . Вертикальным пунктиром на рис. 1 отмечена граница между стержнем и оболочкой. Магнитное поле на



**Рис. 2.** Временные развертки магнитного поля на внутренней поверхности оболочки  $B_a$  при  $x_a = 0.8$ ,  $\lambda \cong 0.034$  для значений  $\gamma^2$ : 1 — 0, 2 — 0.1, 3 — 0.5, 4 — 1.0, 5 — 4.0, 6 —  $\infty$ . Пунктирная линия — импульс внешнего магнитного поля  $B_b$ . Штриховая линия — поле  $B_{a,\min}$ , соответствующее пределу текучести оболочки.

этой границе  $B_a = B(a, t)$  определяет силовое воздействие на оболочку, отождествляемое с движущей разностью давлений [3,5]:

$$\Delta p = \frac{B_a^2 - B_b^2}{2\mu} - \Delta p_{el}, \quad \Delta p_{el} = \tau_e \sqrt{2} \ln(b/a), \quad (11)$$

где  $\Delta p_{el}$  — максимальная разность давлений, которая может быть скомпенсирована упругими напряжениями в оболочке,  $\tau_e$  — предел текучести. Временные развертки поля  $B_a$ , соответствующие различным значениям параметра  $\gamma$ , представлены на рис. 2. Кривая 1 (при  $\gamma = 0$ ) описывает магнитное поле внутри полой оболочки и построена по уравнению (12) работы [5]. На том же рисунке показано значение поля  $B_{a,\min} = \sqrt{B_b^2 + 2\mu\Delta p_e}$ , определяемое условием  $\Delta p = 0$ . В моменты времени, когда  $B_a(t) > B_{a,\min}$ , оболочка получает „импульс“ расшире-

ния  $I = \int \Delta p dt$ . Пренебрегая смещением оболочки в течение действия магнитных давлений  $B_b$  и  $B_a$ , что вполне оправданно, для высокоинерционной оболочки, и принимая поле скоростей, соответствующее модели несжимаемой среды [3], можем записать для приобретенного импульса

$$I \equiv \int \Delta p(t) dt = m_c b v_b \ln(b/a), \quad (12)$$

где  $m_c$  — плотность, а  $v_b = db/dt$  — скорость расширения оболочки.

Оценим необратимое пластическое расширение оболочки  $x_b = \Delta b/b$ , которое может произойти в результате приобретенного ею импульса. Для этого воспользуемся равенством кинетической энергии (на единицу длины)

$$E_k \equiv \int_a^b \frac{v^2(r, t)}{2} m_c 2\pi r dr = \frac{\pi I^2}{m_c \ln(b/a)} \quad (13)$$

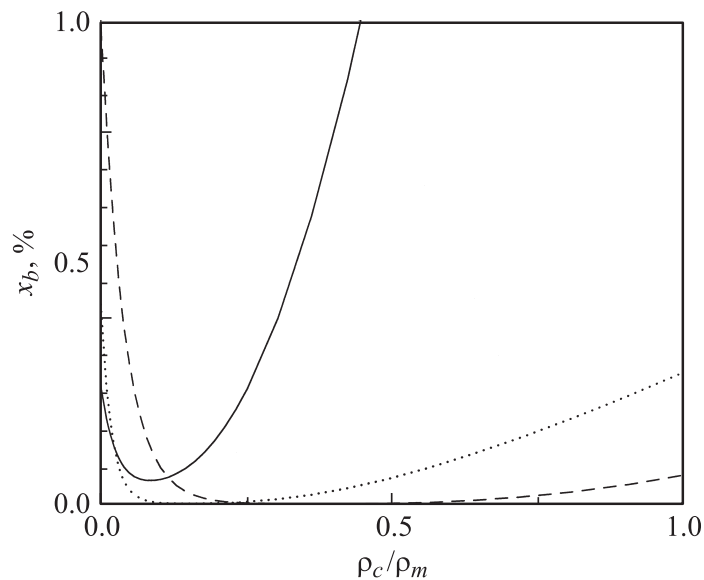
и работы  $A$ , производимой силами внутренних напряжений при пластическом деформировании. Используя приближение несжимаемости материала оболочки в ходе пластического течения и результаты решения задачи Ламе для упругих напряжений в цилиндрической трубе [8], нетрудно получить для единицы объема

$$\delta A = \tau_e \sqrt{2} \frac{v(r, t) dt}{r}. \quad (14)$$

Интегрируя последнее соотношение по объему и по времени, приходим к

$$A = \frac{\pi \tau_e b^2}{\sqrt{2}} \left[ 2(1 + x_b)^2 \ln(1 + x_b) - (x_a^2 + 2x_b + x_b^2) \times \ln(x_a^2 + 2x_b + x_b^2) + x_a^2 \ln(x_a^2) \right]. \quad (15)$$

Равенство  $E_k = A$  теперь позволяет определить искомую величину  $x_b$ . Помимо комплексов  $x_a, \lambda, \gamma$  относительное расширение оболочки  $x_b$  зависит от амплитуды внешнего импульса  $B_{\max}$  и параметров  $\tau_e, m_c$ . Влияние проводящих свойств стержня на величину расширения медных оболочек ( $\tau_e \cong 60$  МПа,  $m_c = 8.96$  г/см<sup>3</sup>) иллюстрирует рис. 3. Видно, что слабо проводящие стержни ( $\rho_c/\rho_m \rightarrow 0$ ) по сравнению с абсолютно непроводящим ( $\rho_c/\rho_m = 0$ ) уменьшают силовое действие остаточного



**Рис. 3.** Относительное увеличение радиуса медной оболочки в зависимости от приведенной проводимости стержня. Сплошная линия —  $\lambda \cong 0.017$ ,  $x_a = 0.8$ ,  $B_{\max} = 25$  Т, штриховая —  $\lambda \cong 0.034$ ,  $x_a = 0.8$ ,  $B_{\max} = 16.7$  Т, пунктирная —  $\lambda \cong 0.017$ ,  $x_a = 0.88$ ,  $B_{\max} = 15$  Т.

магнитного поля, в то время как с ростом величины  $\gamma = \sqrt{\rho_c / \rho_m}$  характер влияния может измениться. В результате расслоение биметаллического цилиндра по величине  $x_b$  может многократно превосходить расслоение системы „оболочка + непроводящий стержень“. Особенно сильно это проявляется с уменьшением параметра  $\lambda$ .

Таким образом, в результате проведенного исследования получено точное решение задачи о диффузии внешнего магнитного поля в систему, состоящую из проводящих стержня и оболочки. На основе полученного решения проанализировано расслоение биметаллических цилиндров, и выявлен немонотонный характер влияния проводящих свойств стержня на силовое действие магнитного поля.

Работа выполнена при поддержке РФФИ, проекты 08-08-00123-а и 09-08-00198-а.

## Список литературы

- [1] *Paranin S., Ivanov V., Nikonov A., Spirin A., Khrustov V., Ivin S., Kaygorodov A., Korolev P.* // Advances in Science and Technology. 2006. V. 45. P. 899.
- [2] *Болтачев Г.Ш., Волков Н.Б., Добров С.В., Иванов В.В., Ноздрин А.А., Паранин С.Н.* // ЖТФ. 2007. Т. 77. В. 10. С. 58.
- [3] *Болтачев Г.Ш., Волков Н.Б., Иванов В.В., Паранин С.Н.* // ПМТФ. 2008. В. 2. С. 211.
- [4] *Шнеерсон Г.А.* Поля и переходные процессы в аппаратуре сверхсильных токов. Л.: Энергоиздат, 1981.
- [5] *Болтачев Г.Ш., Волков Н.Б.* // Письма в ЖТФ. 2009. Т. 35. В. 7. С. 86.
- [6] *Ivanov V.V., Zajats S.V., Medvedev A.I., Shtol'ts A.K., Pereturina I.A., Rhee C.K., Lee G.H.* // J. Mater. Sci. 2004. V. 39. P. 5231.
- [7] *Карслоу Г., Егер Д.* Теплопроводность твердых тел. М.: Наука, 1964.
- [8] *Седов Л.И.* Механика сплошной среды. Т. 2. М.: Наука, 1976. 536 с.